



Eingabe: Farbmétrisches Reflexions-System MRS18

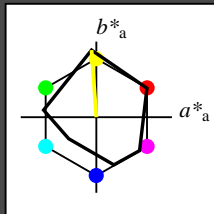
für Buntton  $h^* = lab \cdot h = 94/360 = 0.261$

LAB\*LCH, LAB\*NCH

D65: Buntton J

LCH\*Ma: 91 89 94

olv\*Ma: 1.0 1.0 0.0



MRS18; adaptierte CIELAB-Daten					
	$L^*=L^*_a$	$a^*_a$	$b^*_a$	$C^*_{ab,a}$	$h^*_{ab,a}$
R <sub>Ma</sub>	49.63	66.96	38.37	77.18	30
J <sub>Ma</sub>	90.7	-6.36	88.75	88.98	94
G <sub>Ma</sub>	52.11	-69.73	9.44	70.37	172
G50B <sub>Ma</sub>	45.03	-36.57	-28.47	46.36	218
B <sub>Ma</sub>	36.65	23.19	-63.05	67.18	290
B50R <sub>Ma</sub>	34.94	57.17	-44.26	72.31	322
N <sub>Ma</sub>	18.01	0.0	0.0	0.0	0
W <sub>Ma</sub>	95.41	0.0	0.0	0.0	0
R <sub>CIE</sub>	39.92	58.66	26.98	64.56	25
J <sub>CIE</sub>	81.26	-2.17	67.76	67.79	92
G <sub>CIE</sub>	52.23	-42.26	11.75	43.87	164
B <sub>CIE</sub>	30.57	1.15	-46.84	46.87	271

CIELAB-Helligkeit  $L^*$

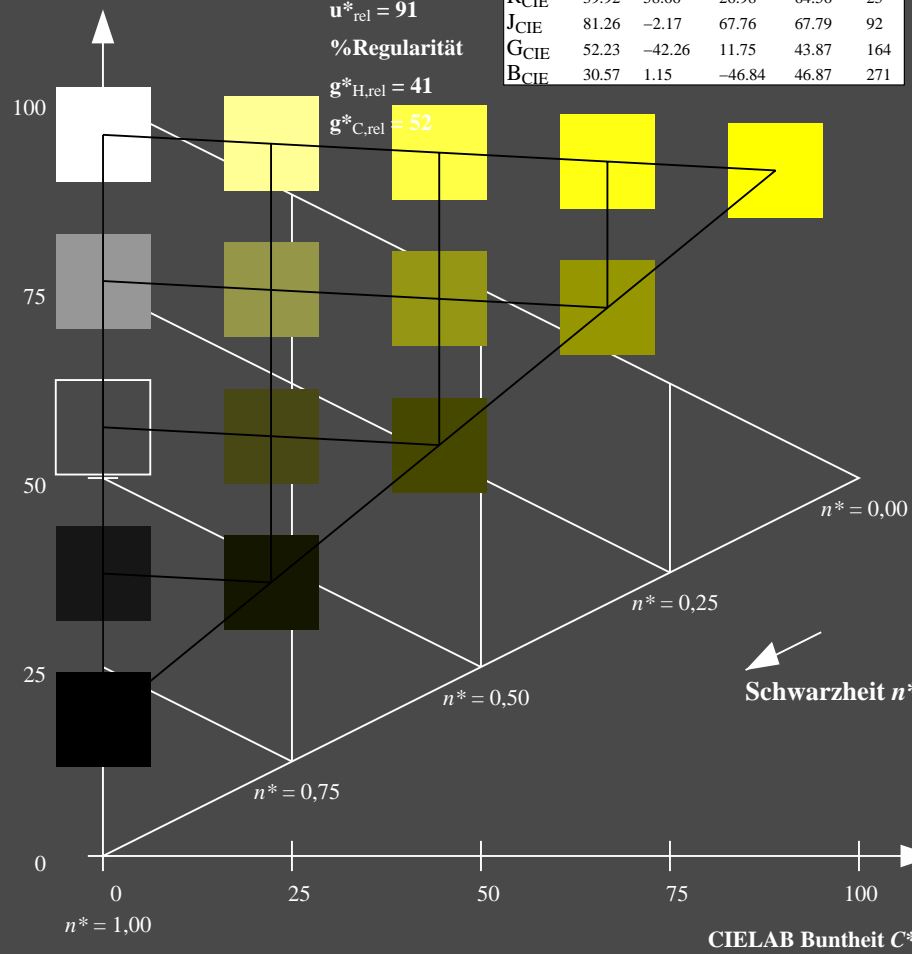
%Umfang

$u^*_{rel} = 91$

%Regularität

$g^*_{H,rel} = 41$

$g^*_{C,rel} = 52$



Ausgabe: Farbmétrisches Reflexions-System MRS18

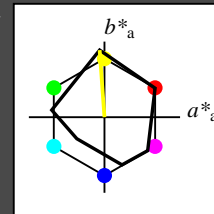
für Buntton  $h^* = lab \cdot h = 94/360 = 0.261$

LAB\*LCH, LAB\*NCH

D65: Buntton J

LCH\*Ma: 91 89 94

olv\*Ma: 1.0 1.0 0.0



MRS18; adaptierte CIELAB-Daten					
	$L^*=L^*_a$	$a^*_a$	$b^*_a$	$C^*_{ab,a}$	$h^*_{ab,a}$
R <sub>Ma</sub>	49.63	66.96	38.37	77.18	30
J <sub>Ma</sub>	90.7	-6.36	88.75	88.98	94
G <sub>Ma</sub>	52.11	-69.73	9.44	70.37	172
G50B <sub>Ma</sub>	45.03	-36.57	-28.47	46.36	218
B <sub>Ma</sub>	36.65	23.19	-63.05	67.18	290
B50R <sub>Ma</sub>	34.94	57.17	-44.26	72.31	322
N <sub>Ma</sub>	18.01	0.0	0.0	0.0	0
W <sub>Ma</sub>	95.41	0.0	0.0	0.0	0
R <sub>CIE</sub>	39.92	58.66	26.98	64.56	25
J <sub>CIE</sub>	81.26	-2.17	67.76	67.79	92
G <sub>CIE</sub>	52.23	-42.26	11.75	43.87	164
B <sub>CIE</sub>	30.57	1.15	-46.84	46.87	271

CIELAB-Helligkeit  $L^*$

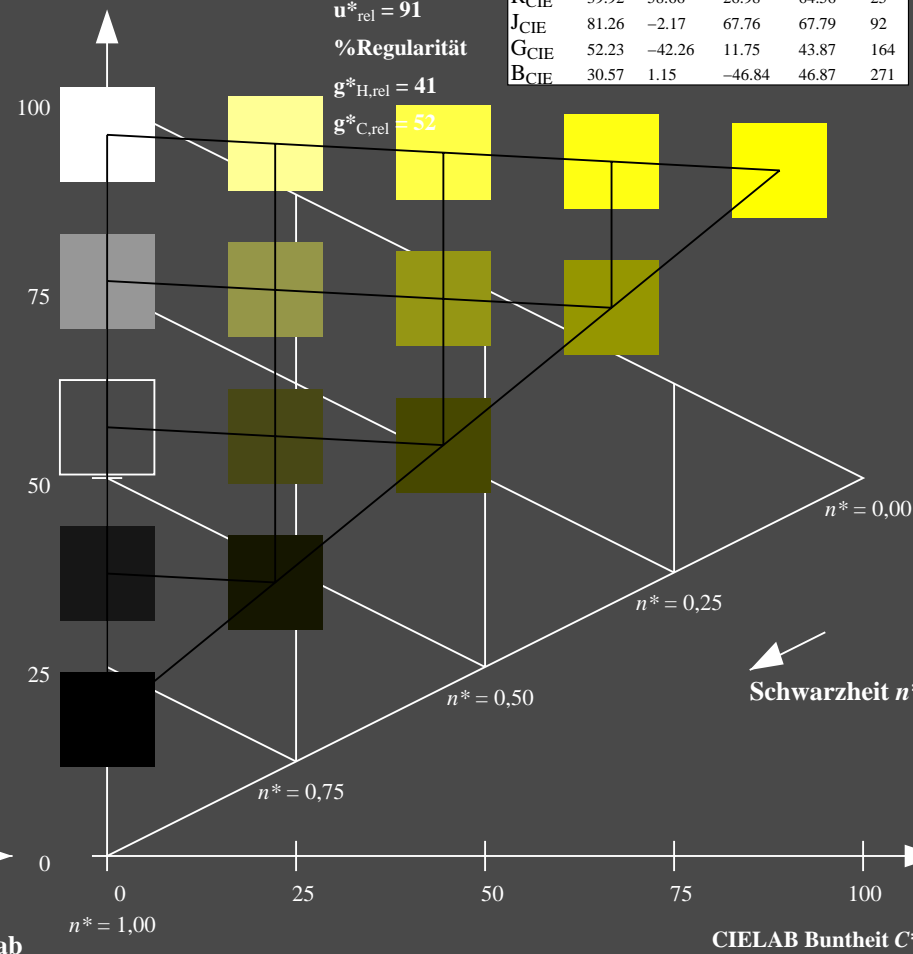
%Umfang

$u^*_{rel} = 91$

%Regularität

$g^*_{H,rel} = 41$

$g^*_{C,rel} = 52$



TG340-7, 5 stufige Reihen für konstanten CIELAB Buntton 94/360 = 0.261 (links)

5 stufige Reihen für konstanten CIELAB Buntton 94/360 = 0.261 (rechts)

BAM-Prüfvorlage TG34; Farbmétrik-Systeme MRS18 & MRS18

D65: Koordinaten-Systeme von 5stufigen Farbreihen für 10 Bunttoninput: olv\* setrgbcolor / w\* setgray

Eingabe: Farbmétrisches Reflexions-System MRS18

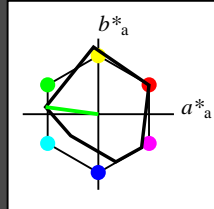
für Buntton  $h^* = lab^*h = 172/360 = 0.479$

LAB\*LCH, LAB\*NCH

D65: Buntton G

LCH\*Ma: 52 70 172

olv\*Ma: 0.0 1.0 0.0



MRS18; adaptierte CIELAB-Daten					
	$L^*=L_a^*$	$a_a^*$	$b_a^*$	$C_{ab,a}^*$	$h_{ab,a}^*$
R <sub>Ma</sub>	49.63	66.96	38.37	77.18	30
J <sub>Ma</sub>	90.7	-6.36	88.75	88.98	94
G <sub>Ma</sub>	52.11	-69.73	9.44	70.37	172
G50B <sub>Ma</sub>	45.03	-36.57	-28.47	46.36	218
B <sub>Ma</sub>	36.65	23.19	-63.05	67.18	290
B50R <sub>Ma</sub>	34.94	57.17	-44.26	72.31	322
N <sub>Ma</sub>	18.01	0.0	0.0	0.0	0
W <sub>Ma</sub>	95.41	0.0	0.0	0.0	0
R <sub>CIE</sub>	39.92	58.66	26.98	64.56	25
J <sub>CIE</sub>	81.26	-2.17	67.76	67.79	92
G <sub>CIE</sub>	52.23	-42.26	11.75	43.87	164
B <sub>CIE</sub>	30.57	1.15	-46.84	46.87	271

CIELAB-Helligkeit  $L^*$

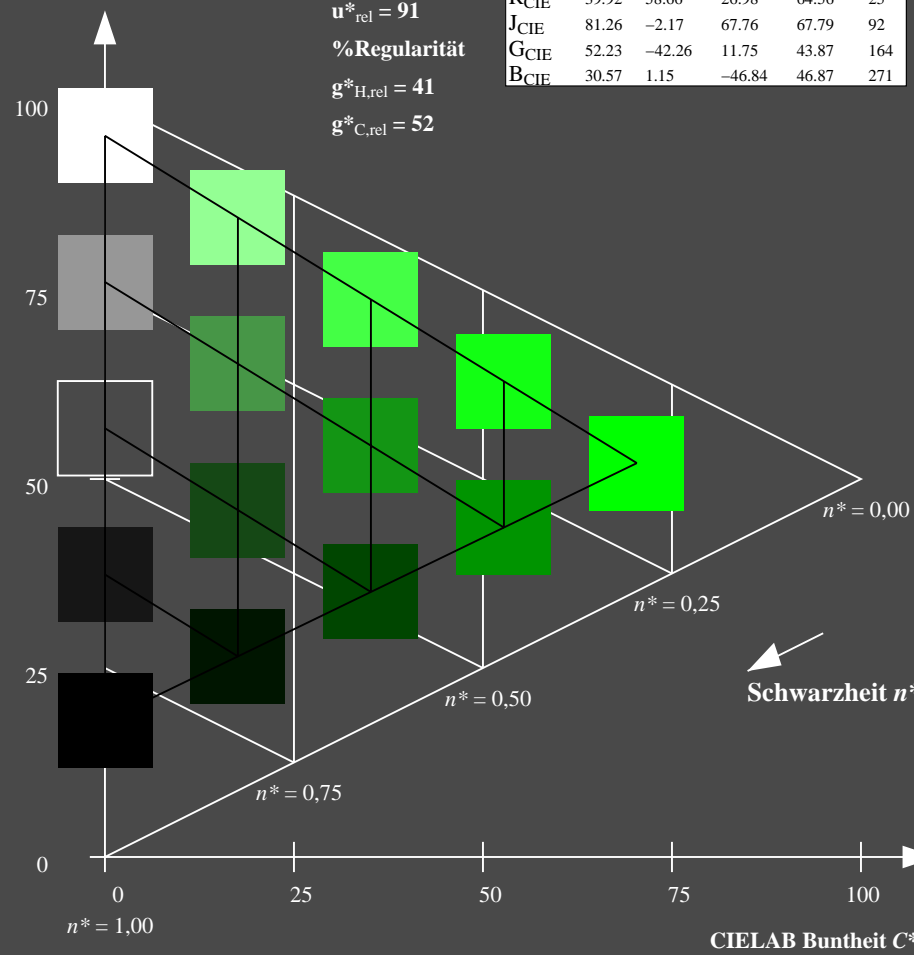
%Umfang

$u_{rel}^* = 91$

%Regularität

$g_{H,rel}^* = 41$

$g_{C,rel}^* = 52$



TG340-7, 5 stufige Reihen für konstanten CIELAB Buntton 172/360 = 0.479 (links)

Ausgabe: Farbmétrisches Reflexions-System MRS18

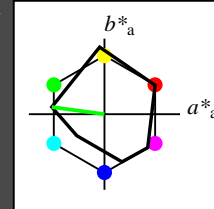
für Buntton  $h^* = lab^*h = 172/360 = 0.479$

LAB\*LCH, LAB\*NCH

D65: Buntton G

LCH\*Ma: 52 70 172

olv\*Ma: 0.0 1.0 0.0



MRS18; adaptierte CIELAB-Daten					
	$L^*=L_a^*$	$a_a^*$	$b_a^*$	$C_{ab,a}^*$	$h_{ab,a}^*$
R <sub>Ma</sub>	49.63	66.96	38.37	77.18	30
J <sub>Ma</sub>	90.7	-6.36	88.75	88.98	94
G <sub>Ma</sub>	52.11	-69.73	9.44	70.37	172
G50B <sub>Ma</sub>	45.03	-36.57	-28.47	46.36	218
B <sub>Ma</sub>	36.65	23.19	-63.05	67.18	290
B50R <sub>Ma</sub>	34.94	57.17	-44.26	72.31	322
N <sub>Ma</sub>	18.01	0.0	0.0	0.0	0
W <sub>Ma</sub>	95.41	0.0	0.0	0.0	0
R <sub>CIE</sub>	39.92	58.66	26.98	64.56	25
J <sub>CIE</sub>	81.26	-2.17	67.76	67.79	92
G <sub>CIE</sub>	52.23	-42.26	11.75	43.87	164
B <sub>CIE</sub>	30.57	1.15	-46.84	46.87	271

CIELAB-Helligkeit  $L^*$

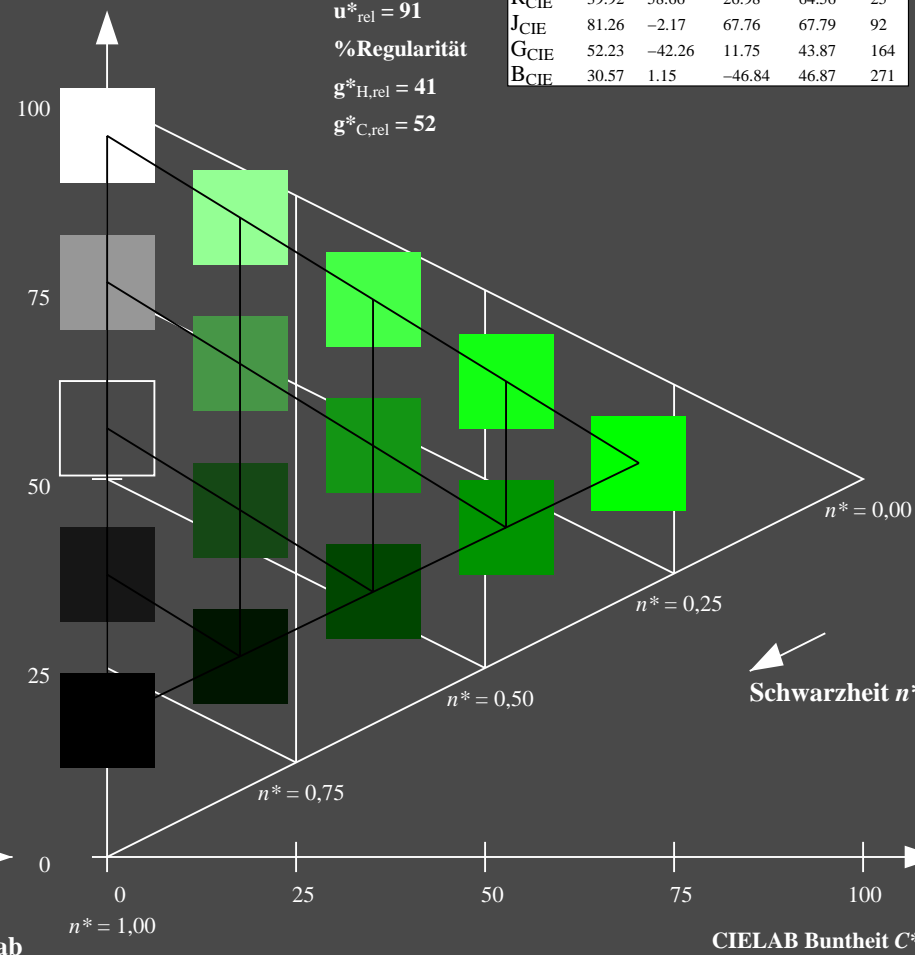
%Umfang

$u_{rel}^* = 91$

%Regularität

$g_{H,rel}^* = 41$

$g_{C,rel}^* = 52$



5 stufige Reihen für konstanten CIELAB Buntton 172/360 = 0.479 (rechts)

BAM-Prüfvorlage TG34; Farbmétrik-Systeme MRS18 & MRS18

D65: Koordinaten-Systeme von 5stufigen Farbreihen für 10 Bunttonen

Input: olv\* setrgbcolor

Output: olv\* setrgbcolor / w\* setgray

Eingabe: Farbmimetrisches Reflexions-System MRS18

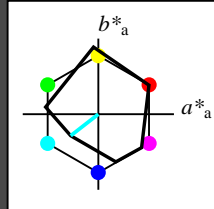
für Buntton  $h^* = lab \cdot h = 218/360 = 0.605$

LAB\*LCH, LAB\*NCH

D65: Buntton G50B

LCH\*Ma: 45 46 218

olv\*Ma: 0.0 1.0 1.0



MRS18; adaptierte CIELAB-Daten					
	$L^*=L_a^*$	$a_a^*$	$b_a^*$	$C_{ab,a}^*$	$h_{ab,a}^*$
R <sub>Ma</sub>	49.63	66.96	38.37	77.18	30
J <sub>Ma</sub>	90.7	-6.36	88.75	88.98	94
G <sub>Ma</sub>	52.11	-69.73	9.44	70.37	172
G50B <sub>Ma</sub>	45.03	-36.57	-28.47	46.36	218
B <sub>Ma</sub>	36.65	23.19	-63.05	67.18	290
B50R <sub>Ma</sub>	34.94	57.17	-44.26	72.31	322
N <sub>Ma</sub>	18.01	0.0	0.0	0.0	0
W <sub>Ma</sub>	95.41	0.0	0.0	0.0	0
R <sub>CIE</sub>	39.92	58.66	26.98	64.56	25
J <sub>CIE</sub>	81.26	-2.17	67.76	67.79	92
G <sub>CIE</sub>	52.23	-42.26	11.75	43.87	164
B <sub>CIE</sub>	30.57	1.15	-46.84	46.87	271

CIELAB-Helligkeit  $L^*$

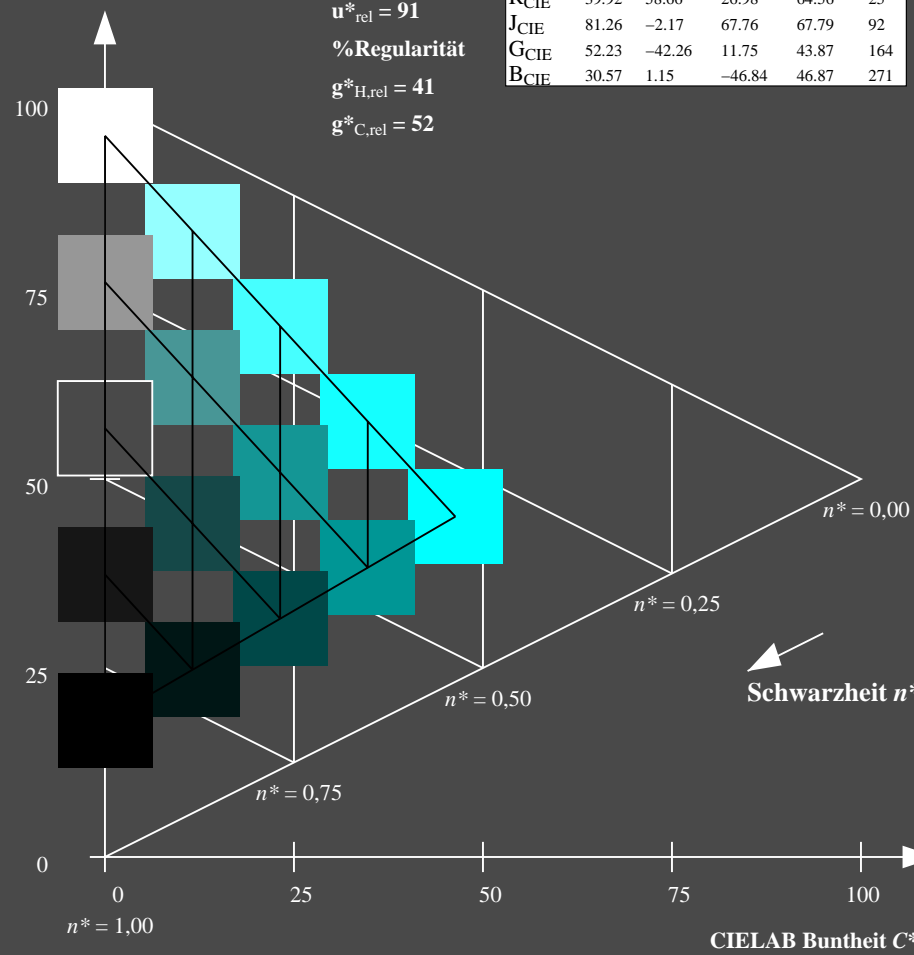
%Umfang

$u_{rel}^* = 91$

%Regularität

$g_{H,rel}^* = 41$

$g_{C,rel}^* = 52$



TG340-7, 5 stufige Reihen für konstanten CIELAB Buntton 218/360 = 0.605 (links)

Ausgabe: Farbmimetrisches Reflexions-System MRS18

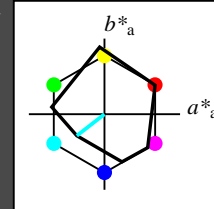
für Buntton  $h^* = lab \cdot h = 218/360 = 0.605$

LAB\*LCH, LAB\*NCH

D65: Buntton G50B

LCH\*Ma: 45 46 218

olv\*Ma: 0.0 1.0 1.0



MRS18; adaptierte CIELAB-Daten					
	$L^*=L_a^*$	$a_a^*$	$b_a^*$	$C_{ab,a}^*$	$h_{ab,a}^*$
R <sub>Ma</sub>	49.63	66.96	38.37	77.18	30
J <sub>Ma</sub>	90.7	-6.36	88.75	88.98	94
G <sub>Ma</sub>	52.11	-69.73	9.44	70.37	172
G50B <sub>Ma</sub>	45.03	-36.57	-28.47	46.36	218
B <sub>Ma</sub>	36.65	23.19	-63.05	67.18	290
B50R <sub>Ma</sub>	34.94	57.17	-44.26	72.31	322
N <sub>Ma</sub>	18.01	0.0	0.0	0.0	0
W <sub>Ma</sub>	95.41	0.0	0.0	0.0	0
R <sub>CIE</sub>	39.92	58.66	26.98	64.56	25
J <sub>CIE</sub>	81.26	-2.17	67.76	67.79	92
G <sub>CIE</sub>	52.23	-42.26	11.75	43.87	164
B <sub>CIE</sub>	30.57	1.15	-46.84	46.87	271

CIELAB-Helligkeit  $L^*$

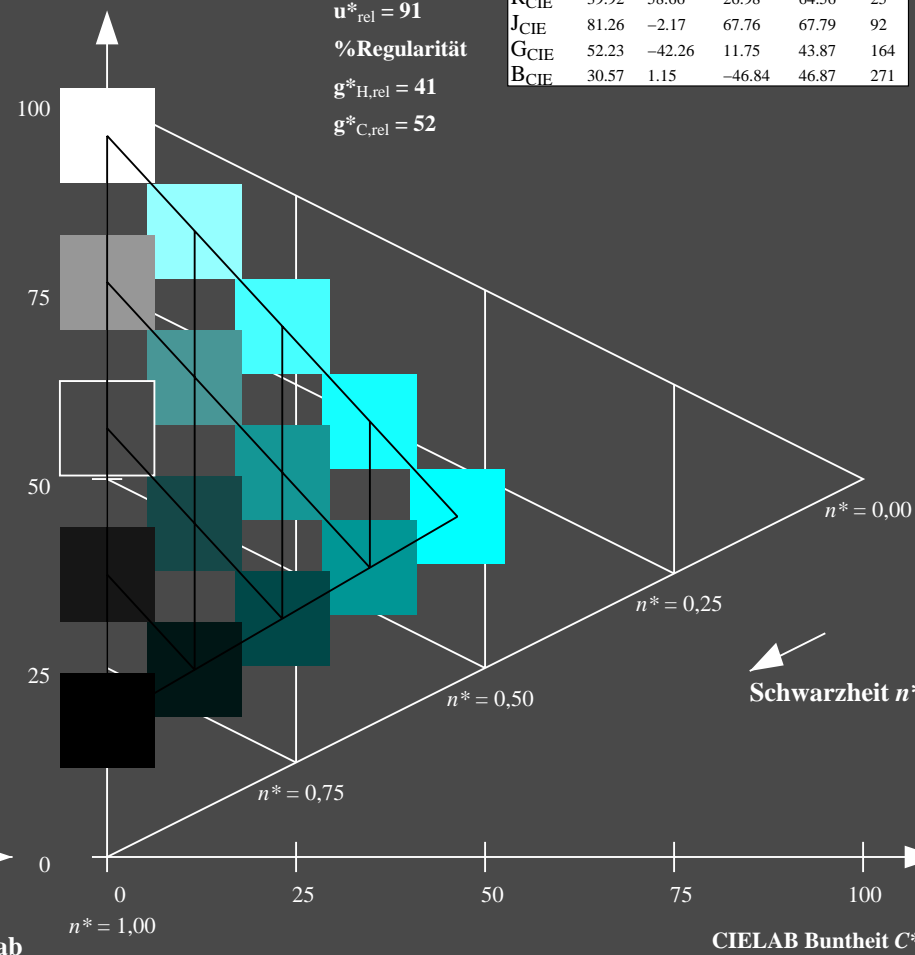
%Umfang

$u_{rel}^* = 91$

%Regularität

$g_{H,rel}^* = 41$

$g_{C,rel}^* = 52$



5 stufige Reihen für konstanten CIELAB Buntton 218/360 = 0.605 (rechts)

BAM-Prüfvorlage TG34; Farbmimetrische-Systeme MRS18 & MRS18

D65: Koordinaten-Systeme von 5stufigen Farbreihen für 10 Bunttonen

Input: olv\* setrgbcolor

Output: olv\* setrgbcolor / w\* setgray

Eingabe: Farbmimetrisches Reflexions-System MRS18

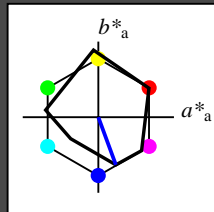
für Buntton  $h^* = lab^*h = 290/360 = 0.806$

LAB\*LCH, LAB\*NCH

D65: Buntton B

LCH\*Ma: 37 67 290

olv\*Ma: 0.0 0.0 1.0



MRS18; adaptierte CIELAB-Daten					
	$L^*=L^*_a$	$a^*_a$	$b^*_a$	$C^*_{ab,a}$	$h^*_{ab,a}$
R <sub>Ma</sub>	49.63	66.96	38.37	77.18	30
J <sub>Ma</sub>	90.7	-6.36	88.75	88.98	94
G <sub>Ma</sub>	52.11	-69.73	9.44	70.37	172
G50B <sub>Ma</sub>	45.03	-36.57	-28.47	46.36	218
B <sub>Ma</sub>	36.65	23.19	-63.05	67.18	290
B50R <sub>Ma</sub>	34.94	57.17	-44.26	72.31	322
N <sub>Ma</sub>	18.01	0.0	0.0	0.0	0
W <sub>Ma</sub>	95.41	0.0	0.0	0.0	0
R <sub>CIE</sub>	39.92	58.66	26.98	64.56	25
J <sub>CIE</sub>	81.26	-2.17	67.76	67.79	92
G <sub>CIE</sub>	52.23	-42.26	11.75	43.87	164
B <sub>CIE</sub>	30.57	1.15	-46.84	46.87	271

CIELAB-Helligkeit  $L^*$

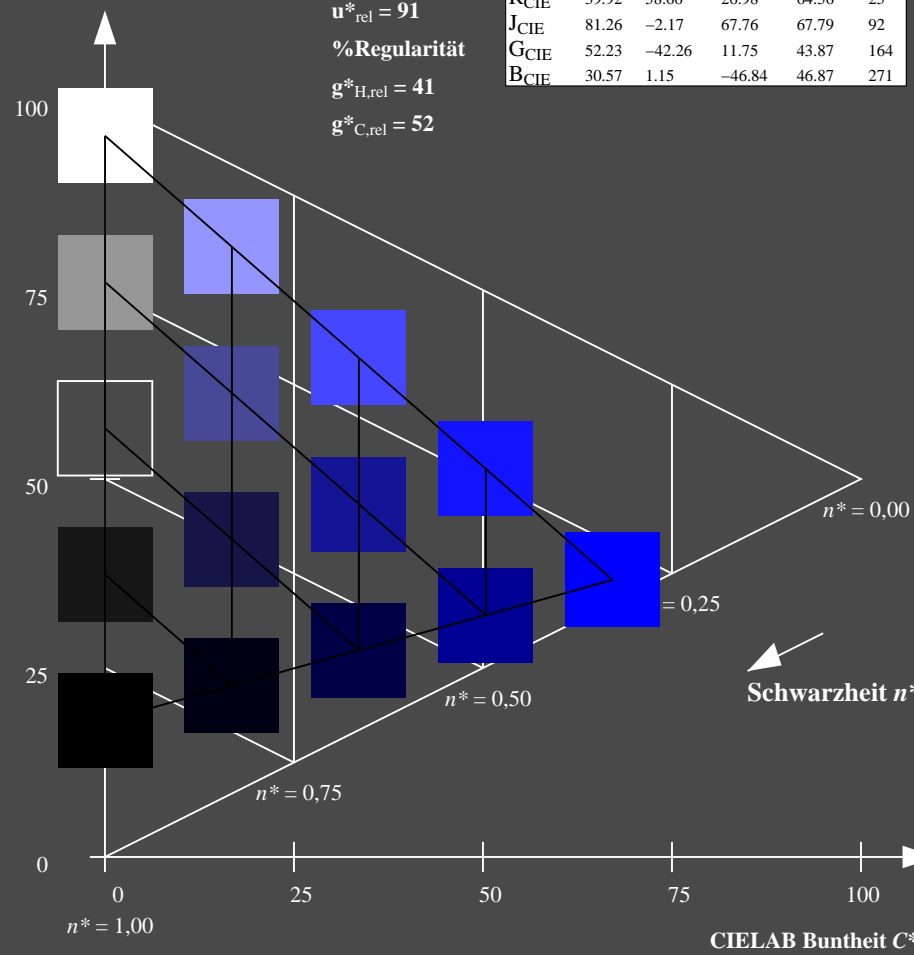
%Umfang

$u^*_{rel} = 91$

%Regularität

$g^*_{H,rel} = 41$

$g^*_{C,rel} = 52$



TG340-7, 5 stufige Reihen für konstanten CIELAB Buntton 290/360 = 0.806 (links)

Ausgabe: Farbmimetrisches Reflexions-System MRS18

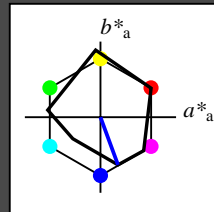
für Buntton  $h^* = lab^*h = 290/360 = 0.806$

LAB\*LCH, LAB\*NCH

D65: Buntton B

LCH\*Ma: 37 67 290

olv\*Ma: 0.0 0.0 1.0



MRS18; adaptierte CIELAB-Daten					
	$L^*=L^*_a$	$a^*_a$	$b^*_a$	$C^*_{ab,a}$	$h^*_{ab,a}$
R <sub>Ma</sub>	49.63	66.96	38.37	77.18	30
J <sub>Ma</sub>	90.7	-6.36	88.75	88.98	94
G <sub>Ma</sub>	52.11	-69.73	9.44	70.37	172
G50B <sub>Ma</sub>	45.03	-36.57	-28.47	46.36	218
B <sub>Ma</sub>	36.65	23.19	-63.05	67.18	290
B50R <sub>Ma</sub>	34.94	57.17	-44.26	72.31	322
N <sub>Ma</sub>	18.01	0.0	0.0	0.0	0
W <sub>Ma</sub>	95.41	0.0	0.0	0.0	0
R <sub>CIE</sub>	39.92	58.66	26.98	64.56	25
J <sub>CIE</sub>	81.26	-2.17	67.76	67.79	92
G <sub>CIE</sub>	52.23	-42.26	11.75	43.87	164
B <sub>CIE</sub>	30.57	1.15	-46.84	46.87	271

CIELAB-Helligkeit  $L^*$

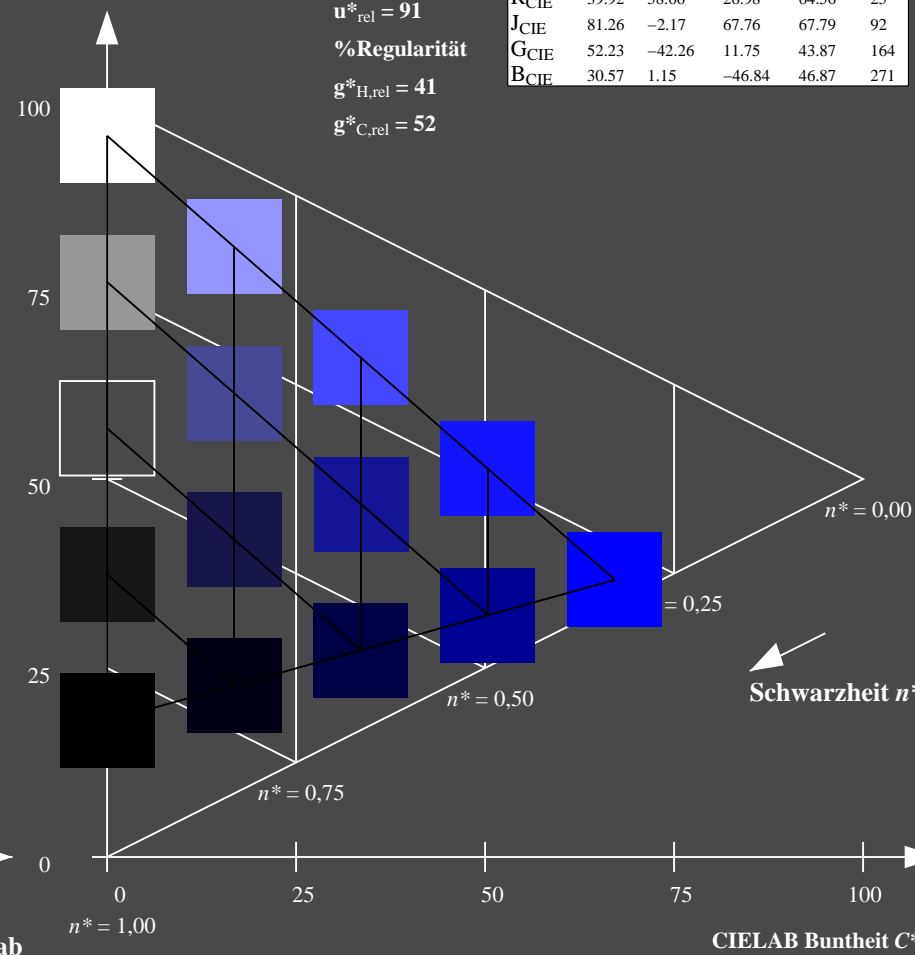
%Umfang

$u^*_{rel} = 91$

%Regularität

$g^*_{H,rel} = 41$

$g^*_{C,rel} = 52$



5 stufige Reihen für konstanten CIELAB Buntton 290/360 = 0.806 (rechts)

BAM-Prüfvorlage TG34; Farbmimetrische Systeme MRS18 & MRS18

D65: Koordinaten-Systeme von 5stufigen Farbreihen für 10 Bunttonen

Input: olv\* setrgbcolor

Output: olv\* setrgbcolor / w\* setgray

### Eingabe: Farbmétrisches Reflexions-System MRS18

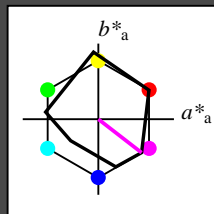
für Buntton  $h^* = lab^*h = 322/360 = 0.895$

LAB\*LCH, LAB\*NCH

D65: Buntton B50R

LCH\*Ma: 35 72 322

olv\*Ma: 1.0 0.0 1.0



MRS18; adaptierte CIELAB-Daten					
	$L^*=L_a^*$	$a_a^*$	$b_a^*$	$C_{ab,a}^*$	$h_{ab,a}^*$
R <sub>Ma</sub>	49.63	66.96	38.37	77.18	30
J <sub>Ma</sub>	90.7	-6.36	88.75	88.98	94
G <sub>Ma</sub>	52.11	-69.73	9.44	70.37	172
G50B <sub>Ma</sub>	45.03	-36.57	-28.47	46.36	218
B <sub>Ma</sub>	36.65	23.19	-63.05	67.18	290
B50R <sub>Ma</sub>	34.94	57.17	-44.26	72.31	322
N <sub>Ma</sub>	18.01	0.0	0.0	0.0	0
W <sub>Ma</sub>	95.41	0.0	0.0	0.0	0
R <sub>CIE</sub>	39.92	58.66	26.98	64.56	25
J <sub>CIE</sub>	81.26	-2.17	67.76	67.79	92
G <sub>CIE</sub>	52.23	-42.26	11.75	43.87	164
B <sub>CIE</sub>	30.57	1.15	-46.84	46.87	271

CIELAB-Helligkeit  $L^*$

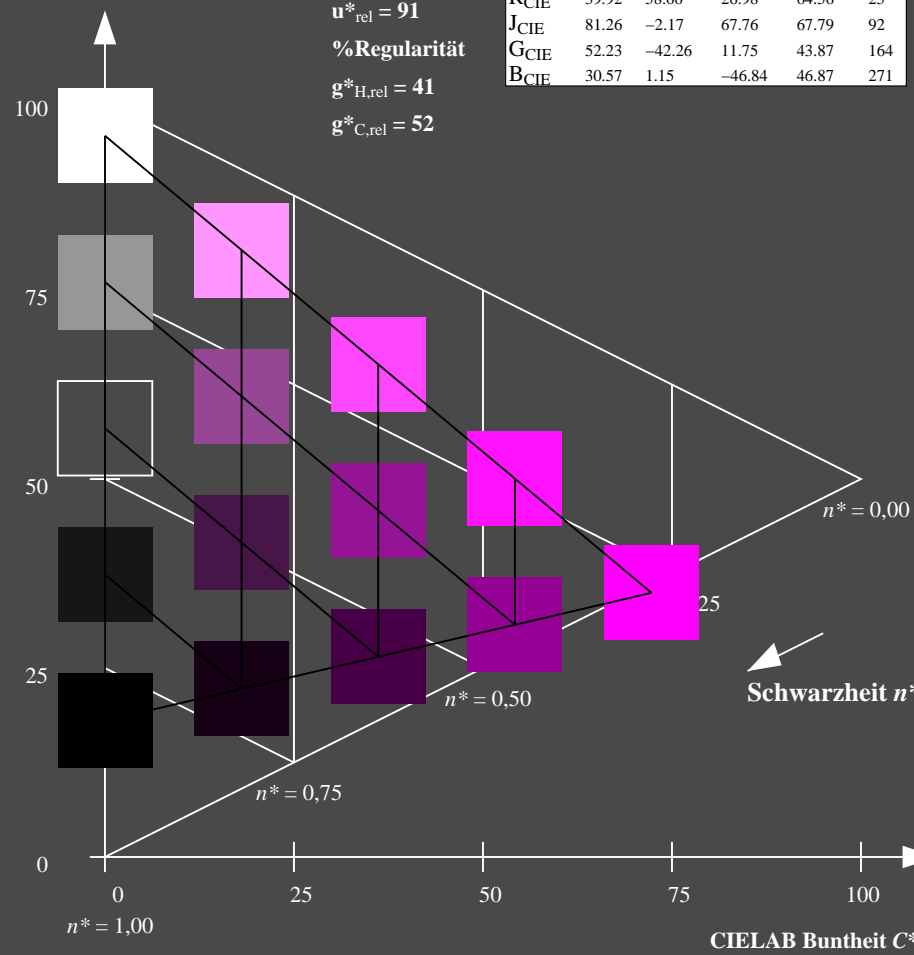
%Umfang

$u_{rel}^* = 91$

%Regularität

$g_{H,rel}^* = 41$

$g_{C,rel}^* = 52$



TG340-7, 5 stufige Reihen für konstanten CIELAB Buntton 322/360 = 0.895 (links)

### Ausgabe: Farbmétrisches Reflexions-System MRS18

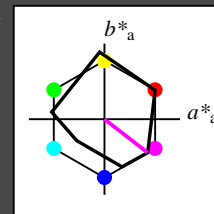
für Buntton  $h^* = lab^*h = 322/360 = 0.895$

LAB\*LCH, LAB\*NCH

D65: Buntton B50R

LCH\*Ma: 35 72 322

olv\*Ma: 1.0 0.0 1.0



MRS18; adaptierte CIELAB-Daten					
	$L^*=L_a^*$	$a_a^*$	$b_a^*$	$C_{ab,a}^*$	$h_{ab,a}^*$
R <sub>Ma</sub>	49.63	66.96	38.37	77.18	30
J <sub>Ma</sub>	90.7	-6.36	88.75	88.98	94
G <sub>Ma</sub>	52.11	-69.73	9.44	70.37	172
G50B <sub>Ma</sub>	45.03	-36.57	-28.47	46.36	218
B <sub>Ma</sub>	36.65	23.19	-63.05	67.18	290
B50R <sub>Ma</sub>	34.94	57.17	-44.26	72.31	322
N <sub>Ma</sub>	18.01	0.0	0.0	0.0	0
W <sub>Ma</sub>	95.41	0.0	0.0	0.0	0
R <sub>CIE</sub>	39.92	58.66	26.98	64.56	25
J <sub>CIE</sub>	81.26	-2.17	67.76	67.79	92
G <sub>CIE</sub>	52.23	-42.26	11.75	43.87	164
B <sub>CIE</sub>	30.57	1.15	-46.84	46.87	271

CIELAB-Helligkeit  $L^*$

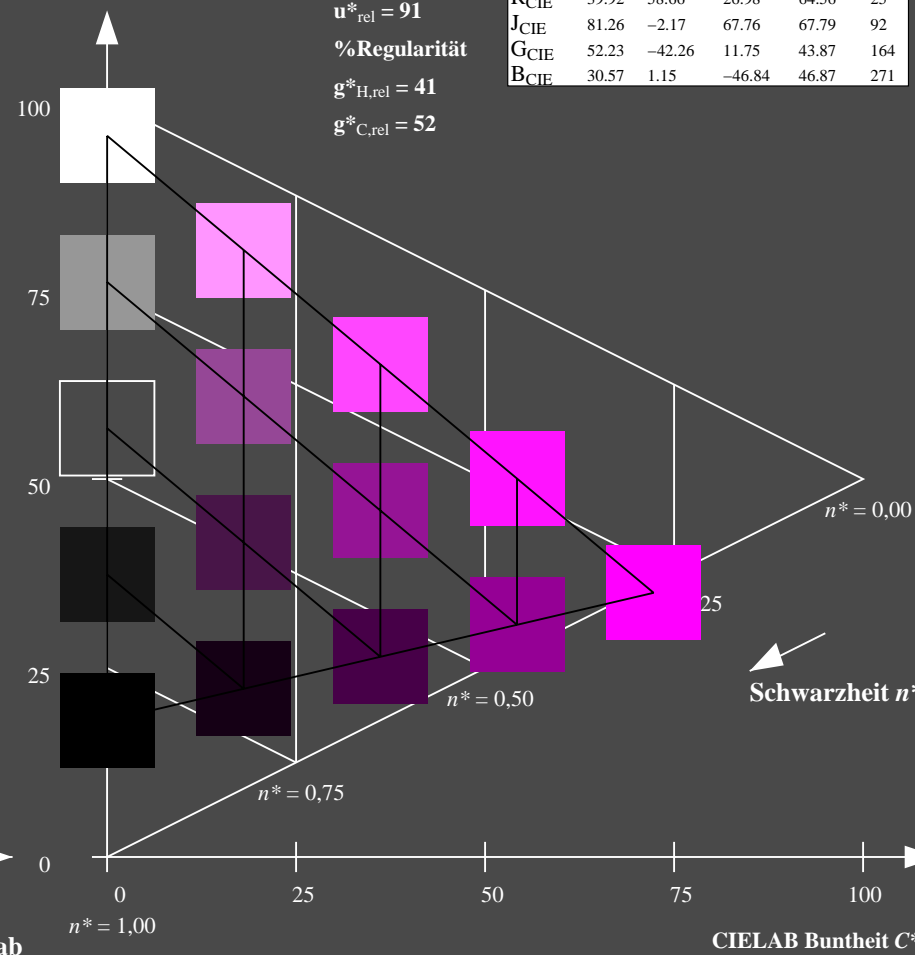
%Umfang

$u_{rel}^* = 91$

%Regularität

$g_{H,rel}^* = 41$

$g_{C,rel}^* = 52$



5 stufige Reihen für konstanten CIELAB Buntton 322/360 = 0.895 (rechts)

BAM-Prüfvorlage TG34; Farbmétrik-Systeme MRS18 & MRS18

D65: Koordinaten-Systeme von 5stufigen Farbreihen für 10 Bunttonen

Input: olv\* setrgbcolor

Output: olv\* setrgbcolor / w\* setgray



## Eingabe: Farbmimetrisches Reflexions-System MRS18

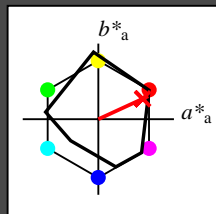
für Buntton  $h^* = lab^*h = 25/360 = 0.069$

LAB\*LCH, LAB\*NCH

D65: Buntton R

LCH\*Ma: 48 73 25

olv\*Ma: 1.0 0.0 0.1



MRS18; adaptierte CIELAB-Daten					
	$L^*=L_a^*$	$a_a^*$	$b_a^*$	$C_{ab,a}^*$	$h_{ab,a}^*$
R <sub>Ma</sub>	49.63	66.96	38.37	77.18	30
J <sub>Ma</sub>	90.7	-6.36	88.75	88.98	94
G <sub>Ma</sub>	52.11	-69.73	9.44	70.37	172
G50B <sub>Ma</sub>	45.03	-36.57	-28.47	46.36	218
B <sub>Ma</sub>	36.65	23.19	-63.05	67.18	290
B50R <sub>Ma</sub>	34.94	57.17	-44.26	72.31	322
N <sub>Ma</sub>	18.01	0.0	0.0	0.0	0
W <sub>Ma</sub>	95.41	0.0	0.0	0.0	0
R <sub>CIE</sub>	39.92	58.66	26.98	64.56	25
J <sub>CIE</sub>	81.26	-2.17	67.76	67.79	92
G <sub>CIE</sub>	52.23	-42.26	11.75	43.87	164
B <sub>CIE</sub>	30.57	1.15	-46.84	46.87	271

CIELAB-Helligkeit  $L^*$

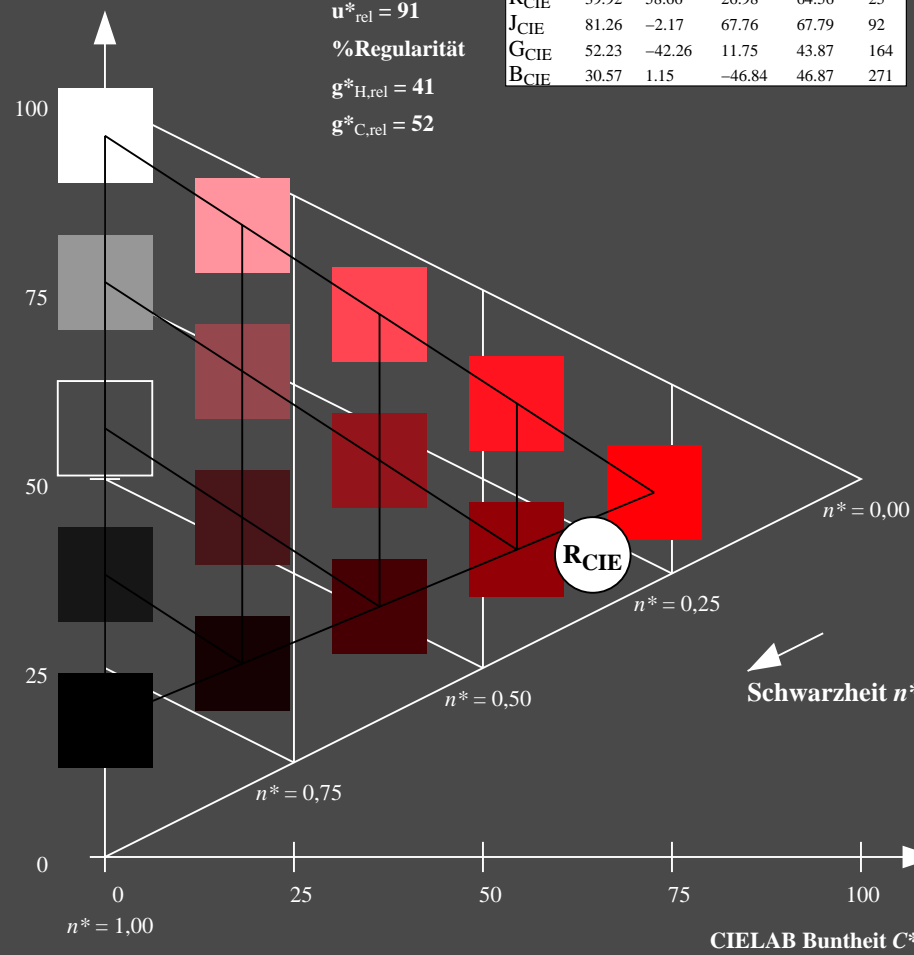
%Umfang

$u_{rel}^* = 91$

%Regularität

$g_{H,rel}^* = 41$

$g_{C,rel}^* = 52$



TG340-7, 5 stufige Reihen für konstanten CIELAB Buntton 25/360 = 0.069 (links)

## Ausgabe: Farbmimetrisches Reflexions-System MRS18

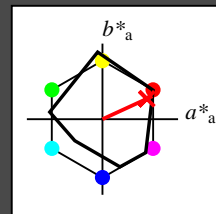
für Buntton  $h^* = lab^*h = 25/360 = 0.069$

LAB\*LCH, LAB\*NCH

D65: Buntton R

LCH\*Ma: 48 73 25

olv\*Ma: 1.0 0.0 0.1



MRS18; adaptierte CIELAB-Daten					
	$L^*=L_a^*$	$a_a^*$	$b_a^*$	$C_{ab,a}^*$	$h_{ab,a}^*$
R <sub>Ma</sub>	49.63	66.96	38.37	77.18	30
J <sub>Ma</sub>	90.7	-6.36	88.75	88.98	94
G <sub>Ma</sub>	52.11	-69.73	9.44	70.37	172
G50B <sub>Ma</sub>	45.03	-36.57	-28.47	46.36	218
B <sub>Ma</sub>	36.65	23.19	-63.05	67.18	290
B50R <sub>Ma</sub>	34.94	57.17	-44.26	72.31	322
N <sub>Ma</sub>	18.01	0.0	0.0	0.0	0
W <sub>Ma</sub>	95.41	0.0	0.0	0.0	0
R <sub>CIE</sub>	39.92	58.66	26.98	64.56	25
J <sub>CIE</sub>	81.26	-2.17	67.76	67.79	92
G <sub>CIE</sub>	52.23	-42.26	11.75	43.87	164
B <sub>CIE</sub>	30.57	1.15	-46.84	46.87	271

CIELAB-Helligkeit  $L^*$

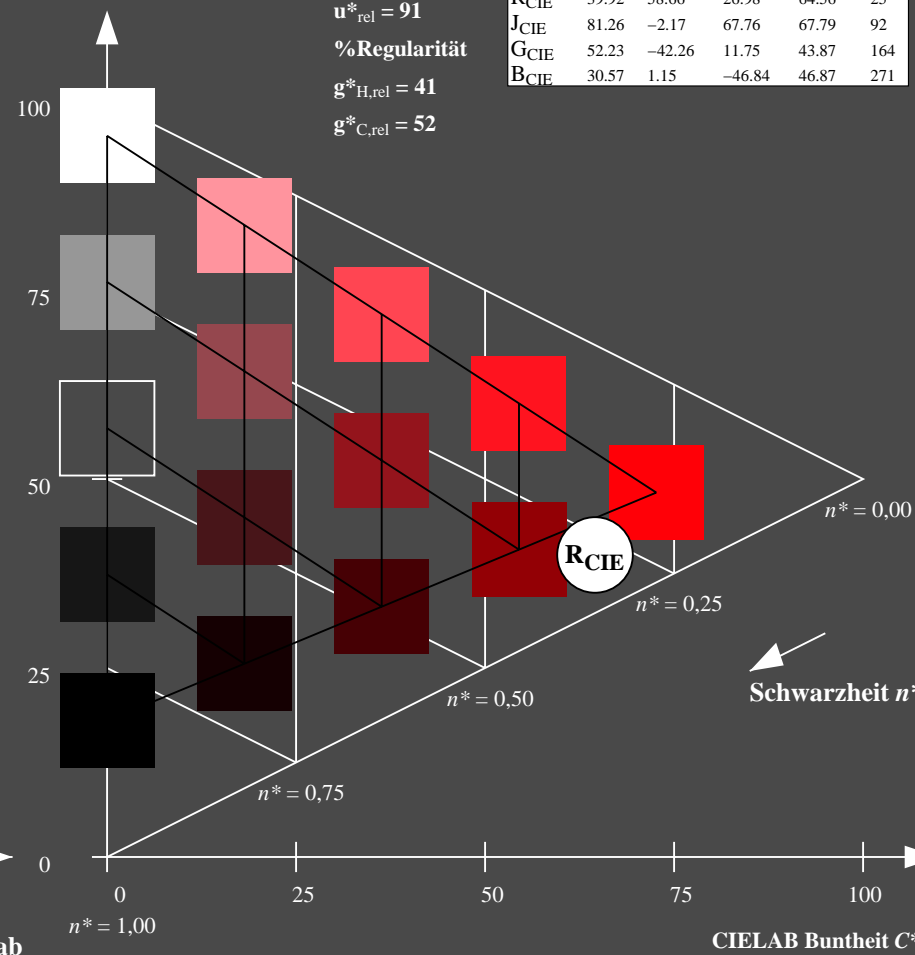
%Umfang

$u_{rel}^* = 91$

%Regularität

$g_{H,rel}^* = 41$

$g_{C,rel}^* = 52$



5 stufige Reihen für konstanten CIELAB Buntton 25/360 = 0.069 (rechts)

BAM-Prüfvorlage TG34; Farbmimetrische Systeme MRS18 & MRS18

D65: Koordinaten-Systeme von 5stufigen Farbreihen für 10 Bunttonen

Input: olv\* setrgbcolor

Output: olv\* setrgbcolor / w\* setgray

### Eingabe: Farbmimetrisches Reflexions-System MRS18

für Buntton  $h^* = lab^*h = 92/360 = 0.255$

LAB\*LCH, LAB\*NCH

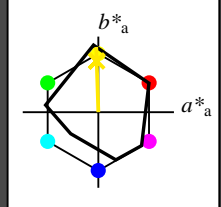
D65: Buntton J

LCH\*Ma: 89 86 92

olv\*Ma: 1.0 0.95 0.0

#### MRS18; adaptierte CIELAB-Daten

	$L^*=L^*_a$	$a^*_a$	$b^*_a$	$C^*_{ab,a}$	$h^*_{ab,a}$
R <sub>Ma</sub>	49.63	66.96	38.37	77.18	30
J <sub>Ma</sub>	90.7	-6.36	88.75	88.98	94
G <sub>Ma</sub>	52.11	-69.73	9.44	70.37	172
G50B <sub>Ma</sub>	45.03	-36.57	-28.47	46.36	218
B <sub>Ma</sub>	36.65	23.19	-63.05	67.18	290
B50R <sub>Ma</sub>	34.94	57.17	-44.26	72.31	322
N <sub>Ma</sub>	18.01	0.0	0.0	0.0	0
W <sub>Ma</sub>	95.41	0.0	0.0	0.0	0
R <sub>CIE</sub>	39.92	58.66	26.98	64.56	25
J <sub>CIE</sub>	81.26	-2.17	67.76	67.79	92
G <sub>CIE</sub>	52.23	-42.26	11.75	43.87	164
B <sub>CIE</sub>	30.57	1.15	-46.84	46.87	271



CIELAB-Helligkeit  $L^*$

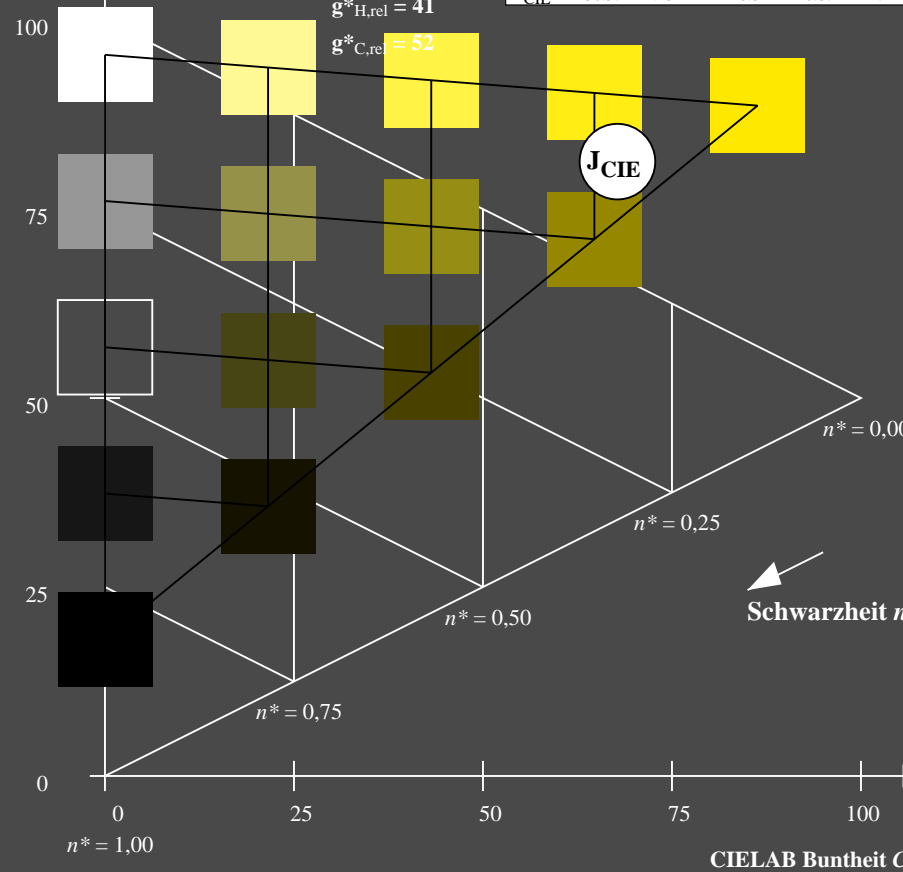
%Umfang

$u^*_{rel} = 91$

%Regularität

$g^*_{H,rel} = 41$

$g^*_{C,rel} = 52$



TG340-7, 5 stufige Reihen für konstanten CIELAB Buntton 92/360 = 0.255 (links)

### Ausgabe: Farbmimetrisches Reflexions-System MRS18

für Buntton  $h^* = lab^*h = 92/360 = 0.255$

LAB\*LCH, LAB\*NCH

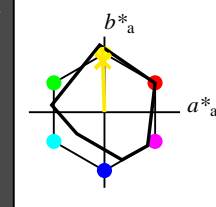
D65: Buntton J

LCH\*Ma: 89 86 92

olv\*Ma: 1.0 0.95 0.0

#### MRS18; adaptierte CIELAB-Daten

	$L^*=L^*_a$	$a^*_a$	$b^*_a$	$C^*_{ab,a}$	$h^*_{ab,a}$
R <sub>Ma</sub>	49.63	66.96	38.37	77.18	30
J <sub>Ma</sub>	90.7	-6.36	88.75	88.98	94
G <sub>Ma</sub>	52.11	-69.73	9.44	70.37	172
G50B <sub>Ma</sub>	45.03	-36.57	-28.47	46.36	218
B <sub>Ma</sub>	36.65	23.19	-63.05	67.18	290
B50R <sub>Ma</sub>	34.94	57.17	-44.26	72.31	322
N <sub>Ma</sub>	18.01	0.0	0.0	0.0	0
W <sub>Ma</sub>	95.41	0.0	0.0	0.0	0
R <sub>CIE</sub>	39.92	58.66	26.98	64.56	25
J <sub>CIE</sub>	81.26	-2.17	67.76	67.79	92
G <sub>CIE</sub>	52.23	-42.26	11.75	43.87	164
B <sub>CIE</sub>	30.57	1.15	-46.84	46.87	271



CIELAB-Helligkeit  $L^*$

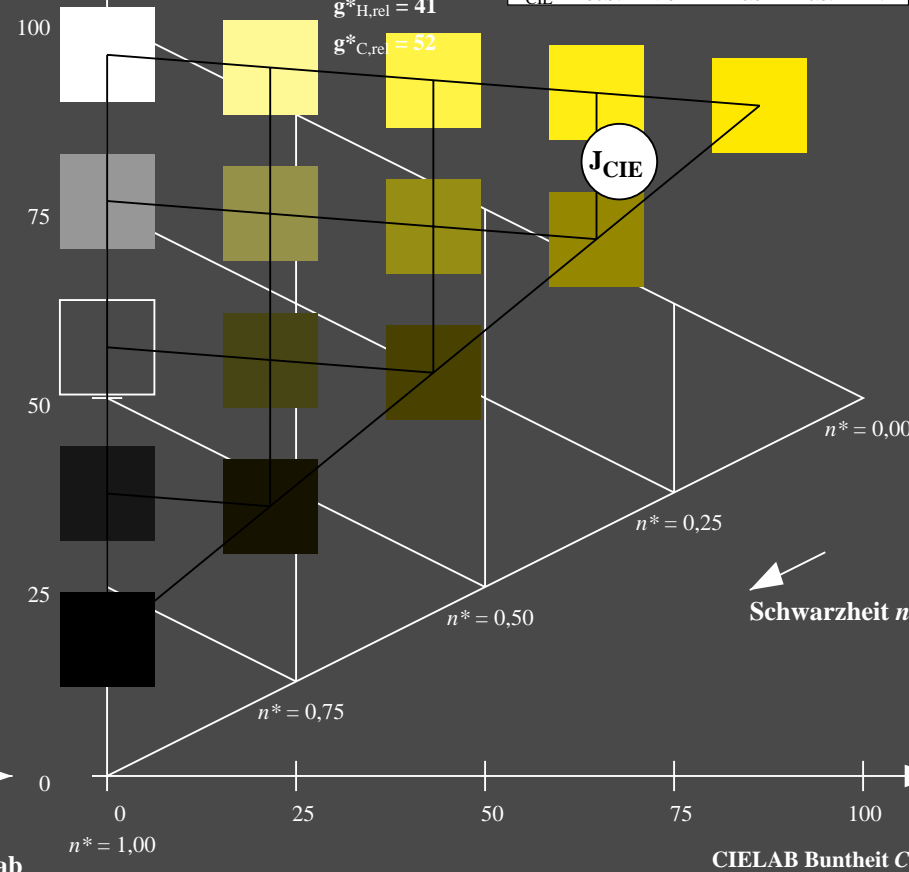
%Umfang

$u^*_{rel} = 91$

%Regularität

$g^*_{H,rel} = 41$

$g^*_{C,rel} = 52$



5 stufige Reihen für konstanten CIELAB Buntton 92/360 = 0.255 (rechts)

BAM-Prüfvorlage TG34; Farbmimetrik-Systeme MRS18 & MRS18

D65: Koordinaten-Systeme von 5stufigen Farbreihen für 10 Bunttoninput: olv\* setrgbcolor / w\* setgray



Eingabe: Farbmimetrisches Reflexions-System MRS18

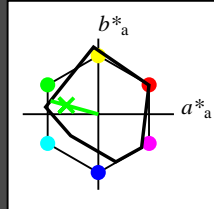
für Buntton  $h^* = lab^*h = 164/360 = 0.457$

LAB\*LCH, LAB\*NCH

D65: Buntton G

LCH\*Ma: 56 66 164

olv\*Ma: 0.1 1.0 0.0



MRS18; adaptierte CIELAB-Daten					
	$L^*=L^*_a$	$a^*_a$	$b^*_a$	$C^*_{ab,a}$	$h^*_{ab,a}$
R <sub>Ma</sub>	49.63	66.96	38.37	77.18	30
J <sub>Ma</sub>	90.7	-6.36	88.75	88.98	94
G <sub>Ma</sub>	52.11	-69.73	9.44	70.37	172
G50B <sub>Ma</sub>	45.03	-36.57	-28.47	46.36	218
B <sub>Ma</sub>	36.65	23.19	-63.05	67.18	290
B50R <sub>Ma</sub>	34.94	57.17	-44.26	72.31	322
N <sub>Ma</sub>	18.01	0.0	0.0	0.0	0
W <sub>Ma</sub>	95.41	0.0	0.0	0.0	0
R <sub>CIE</sub>	39.92	58.66	26.98	64.56	25
J <sub>CIE</sub>	81.26	-2.17	67.76	67.79	92
G <sub>CIE</sub>	52.23	-42.26	11.75	43.87	164
B <sub>CIE</sub>	30.57	1.15	-46.84	46.87	271

CIELAB-Helligkeit  $L^*$

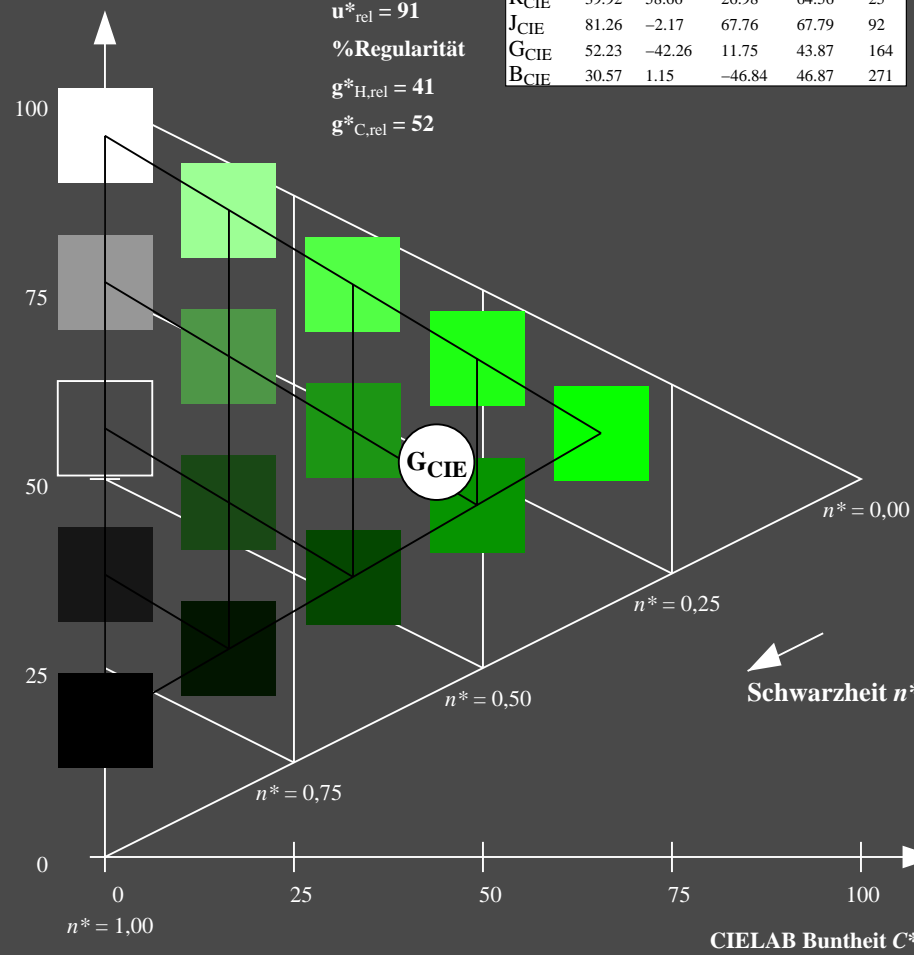
%Umfang

$u^*_{rel} = 91$

%Regularität

$g^*_{H,rel} = 41$

$g^*_{C,rel} = 52$



TG340-7, 5 stufige Reihen für konstanten CIELAB Buntton 164/360 = 0.457 (links)

Ausgabe: Farbmimetrisches Reflexions-System MRS18

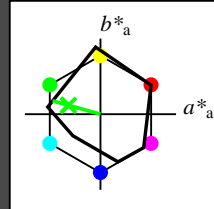
für Buntton  $h^* = lab^*h = 164/360 = 0.457$

LAB\*LCH, LAB\*NCH

D65: Buntton G

LCH\*Ma: 56 66 164

olv\*Ma: 0.1 1.0 0.0



MRS18; adaptierte CIELAB-Daten					
	$L^*=L^*_a$	$a^*_a$	$b^*_a$	$C^*_{ab,a}$	$h^*_{ab,a}$
R <sub>Ma</sub>	49.63	66.96	38.37	77.18	30
J <sub>Ma</sub>	90.7	-6.36	88.75	88.98	94
G <sub>Ma</sub>	52.11	-69.73	9.44	70.37	172
G50B <sub>Ma</sub>	45.03	-36.57	-28.47	46.36	218
B <sub>Ma</sub>	36.65	23.19	-63.05	67.18	290
B50R <sub>Ma</sub>	34.94	57.17	-44.26	72.31	322
N <sub>Ma</sub>	18.01	0.0	0.0	0.0	0
W <sub>Ma</sub>	95.41	0.0	0.0	0.0	0
R <sub>CIE</sub>	39.92	58.66	26.98	64.56	25
J <sub>CIE</sub>	81.26	-2.17	67.76	67.79	92
G <sub>CIE</sub>	52.23	-42.26	11.75	43.87	164
B <sub>CIE</sub>	30.57	1.15	-46.84	46.87	271

CIELAB-Helligkeit  $L^*$

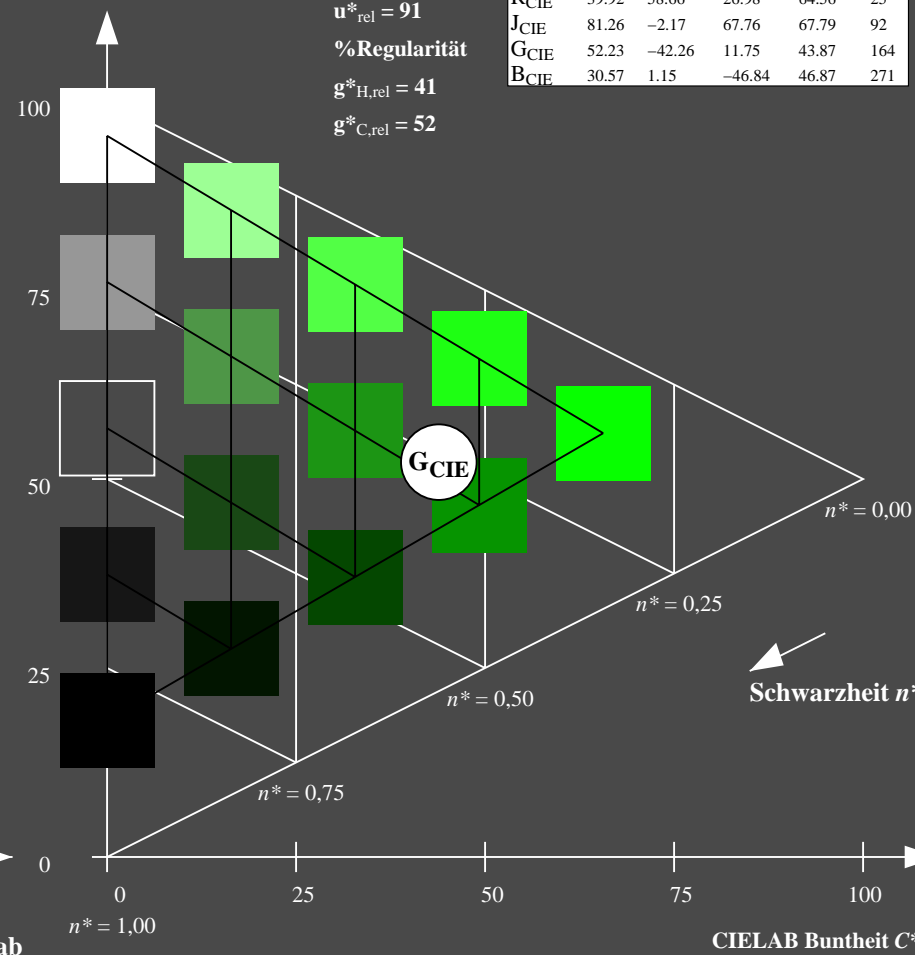
%Umfang

$u^*_{rel} = 91$

%Regularität

$g^*_{H,rel} = 41$

$g^*_{C,rel} = 52$



5 stufige Reihen für konstanten CIELAB Buntton 164/360 = 0.457 (rechts)

BAM-Prüfvorlage TG34; Farbmimetrische Systeme MRS18 & MRS18

D65: Koordinaten-Systeme von 5stufigen Farbreihen für 10 Bunttonen

Input: olv\* setrgbcolor

Output: olv\* setrgbcolor / w\* setgray

### Eingabe: Farbmimetrisches Reflexions-System MRS18

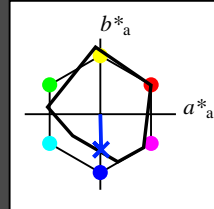
für Buntton  $h^* = lab^*h = 271/360 = 0.754$

LAB\*LCH, LAB\*NCH

D65: Buntton B

LCH\*Ma: 40 50 271

olv\*Ma: 0.0 0.37 1.0



MRS18; adaptierte CIELAB-Daten					
	$L^*=L_a^*$	$a_a^*$	$b_a^*$	$C_{ab,a}^*$	$h_{ab,a}^*$
R <sub>Ma</sub>	49.63	66.96	38.37	77.18	30
J <sub>Ma</sub>	90.7	-6.36	88.75	88.98	94
G <sub>Ma</sub>	52.11	-69.73	9.44	70.37	172
G50B <sub>Ma</sub>	45.03	-36.57	-28.47	46.36	218
B <sub>Ma</sub>	36.65	23.19	-63.05	67.18	290
B50R <sub>Ma</sub>	34.94	57.17	-44.26	72.31	322
N <sub>Ma</sub>	18.01	0.0	0.0	0.0	0
W <sub>Ma</sub>	95.41	0.0	0.0	0.0	0
R <sub>CIE</sub>	39.92	58.66	26.98	64.56	25
J <sub>CIE</sub>	81.26	-2.17	67.76	67.79	92
G <sub>CIE</sub>	52.23	-42.26	11.75	43.87	164
B <sub>CIE</sub>	30.57	1.15	-46.84	46.87	271

CIELAB-Helligkeit  $L^*$

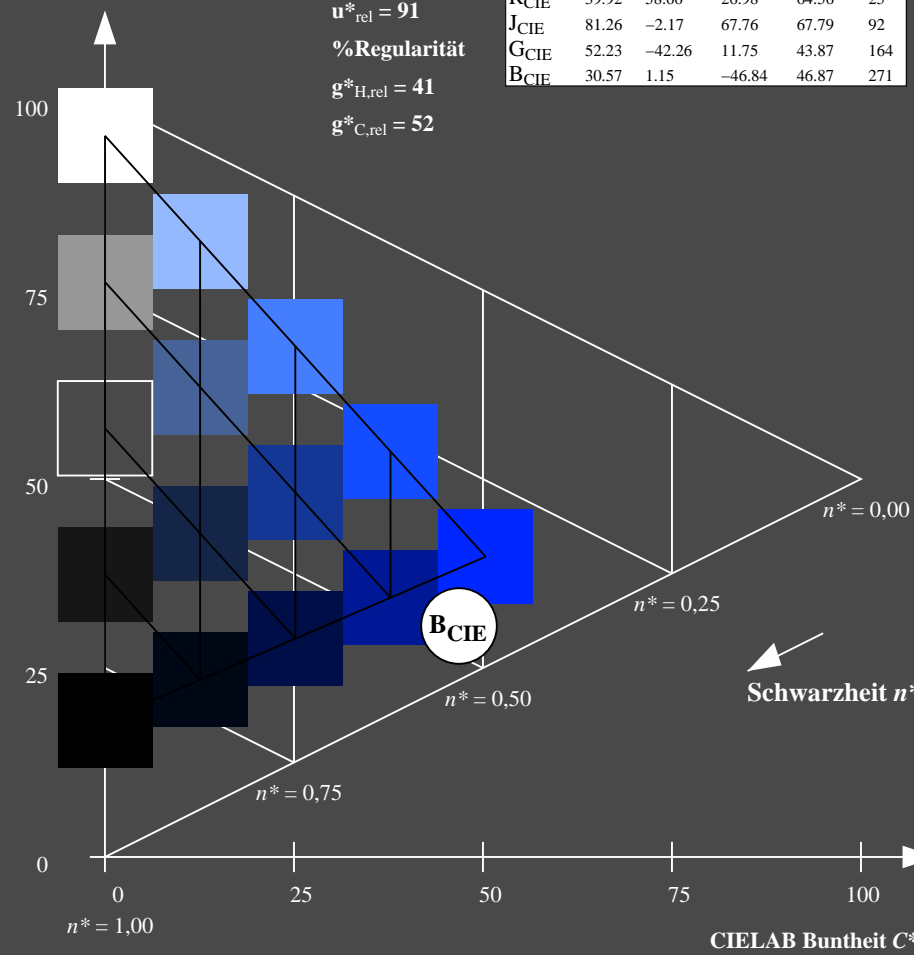
%Umfang

$u_{rel}^* = 91$

%Regularität

$g_{H,rel}^* = 41$

$g_{C,rel}^* = 52$



TG340-7, 5 stufige Reihen für konstanten CIELAB Buntton 271/360 = 0.754 (links)

### Ausgabe: Farbmimetrisches Reflexions-System MRS18

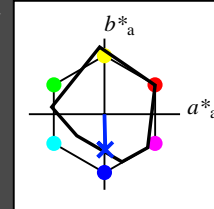
für Buntton  $h^* = lab^*h = 271/360 = 0.754$

LAB\*LCH, LAB\*NCH

D65: Buntton B

LCH\*Ma: 40 50 271

olv\*Ma: 0.0 0.37 1.0



MRS18; adaptierte CIELAB-Daten					
	$L^*=L_a^*$	$a_a^*$	$b_a^*$	$C_{ab,a}^*$	$h_{ab,a}^*$
R <sub>Ma</sub>	49.63	66.96	38.37	77.18	30
J <sub>Ma</sub>	90.7	-6.36	88.75	88.98	94
G <sub>Ma</sub>	52.11	-69.73	9.44	70.37	172
G50B <sub>Ma</sub>	45.03	-36.57	-28.47	46.36	218
B <sub>Ma</sub>	36.65	23.19	-63.05	67.18	290
B50R <sub>Ma</sub>	34.94	57.17	-44.26	72.31	322
N <sub>Ma</sub>	18.01	0.0	0.0	0.0	0
W <sub>Ma</sub>	95.41	0.0	0.0	0.0	0
R <sub>CIE</sub>	39.92	58.66	26.98	64.56	25
J <sub>CIE</sub>	81.26	-2.17	67.76	67.79	92
G <sub>CIE</sub>	52.23	-42.26	11.75	43.87	164
B <sub>CIE</sub>	30.57	1.15	-46.84	46.87	271

CIELAB-Helligkeit  $L^*$

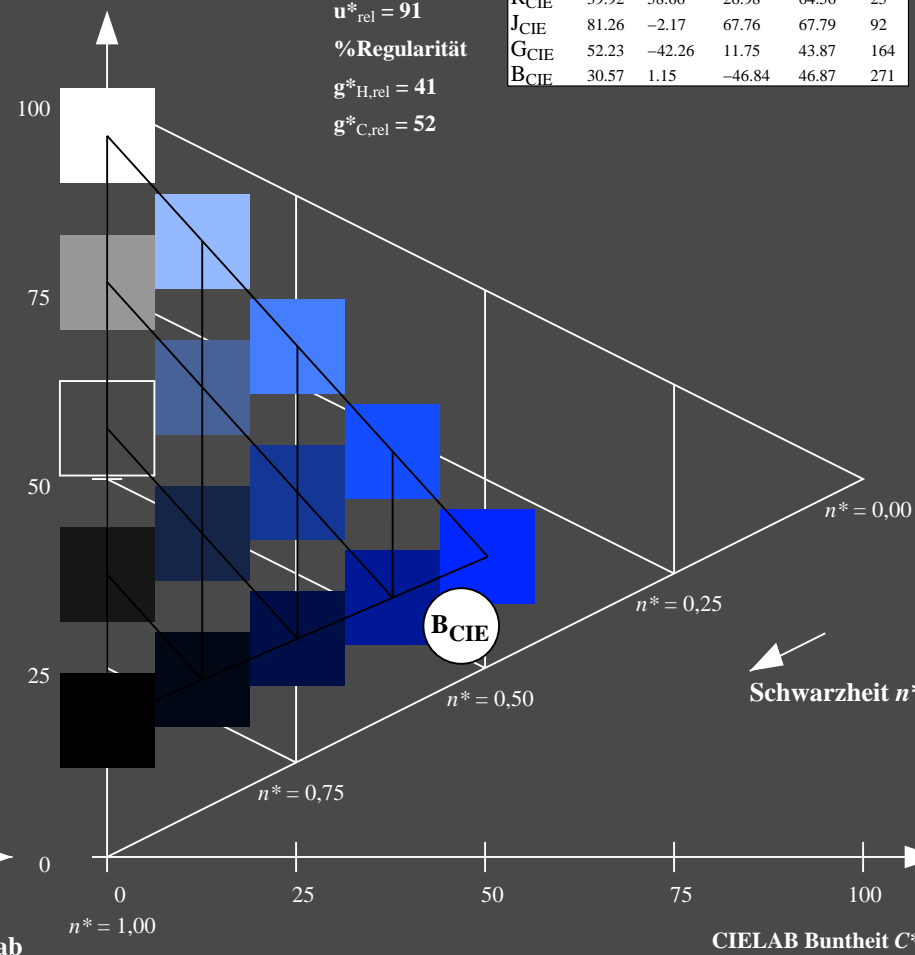
%Umfang

$u_{rel}^* = 91$

%Regularität

$g_{H,rel}^* = 41$

$g_{C,rel}^* = 52$



5 stufige Reihen für konstanten CIELAB Buntton 271/360 = 0.754 (rechts)

BAM-Prüfvorlage TG34; Farbmimetrische-Systeme MRS18 & MRS18

D65: Koordinaten-Systeme von 5stufigen Farbreihen für 10 Bunttonen

Input: olv\* setrgbcolor

Output: olv\* setrgbcolor / w\* setgray